

Diffusion rate effect study on Kinetic of controlled release of (2,4-Dichloroand4-chlorophenoxyacetate)from Zn/Al-layered double hydroxide

دراسة تأثير الانتشار على حرکة تحرر الأيونين (2 ، 4 - ثانی كلورو فينوكسي خلات و 4- كلورو فينوكسي خلات) من بين طبقات الخارصين/المنيوم ثنائية الهيدروكسيد

يسر نوري عبد الأمير ، عباس مطرود باشي ، صالح مهدي حداوي

قسم الكيمياء / كلية العلوم - جامعة كربلاء

الخلاصة :-

تتناول دراسة تحرر مبيدات الأعشاب الفينوكسية (خلات 2,4 ثانی كلورو و 4- كلورو فينوكسي) كهجين نانوي من طبقات الخارصين/المنيوم ثنائية الهيدروكسيد عند الأوساط المختلفة مثل: الكربونات و الفوسفات و الكلوريدات بتراكيرز مختلفه وكذلك عند دوال حامضية مختلفة بطريقة التبادل الأيوني المباشر، ومعرفة تأثير كل وسط على سرعة تناつ كلا الأيونين المتحررين معا في أن واحد من بين طبقات المركبات النانوية الهجينه كانت النتائج توضح أن الأيون العضوي (D) يعني أعاقة أعلى من الأيون العضوي (4-CPA) وأن أعلى سرعة تناافذ لكلا الأيونين باختلاف الأوساط كانت حسب التسلسل التالي $\text{CO}_3^{2-} > \text{PO}_4^{3-} > \text{Cl}^-$ أما بالنسبة لأعلى سرعة تناافذ لكلا الأيونين المتحررين من بين طبقات المركبات النانوية الهجينه باختلاف الدوال الحامضية فأنها تزداد بزيادة الدالة الحامضية .

الهدف من الدراسة الحالیة هي معرفة تأثير الأعاقة التي يسببها كلا الأيونين السالبين المتحررين من بين طبقات المركبات النانوية الهجينه على حرکة تحررها وكذلك معرفة مدى تأثير اختلاف الأوساط والتراكيرز وكذلك الدوال الحامضية على سرعة تناافذ كلا الأيونين .

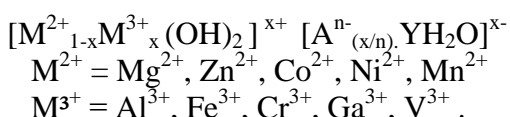
Abstract

This study presents release of phenoxy herbicides 2,4-di chloro and 4-chloro phenoxy acetate as nanohybrids from Zn/Al-layers double hydroxide (LDHs) to different aqueous solution as carbonate , phosphate and chloride for different concentration by using direct ion exchange method . effect know of all aqueous solution on diffusion rate both anionic in same time from layer double hydroxide . The diffusion rate both anionic was found 2,4-D>4-CPA.The diffusion rate release in to aqueous solution carbonate>phosphate>chlorate

The aim of this study effect know of all aqueous solution on diffusion rate both anionic in same time from layer double hydroxide and effect different aqueous solution , concentration and pH on the diffusion rate both anionic .

Introduction

تعرف الطبقات ثنائية الهيدروكسيد (LDHs) بأطيان الأيونات السالبة anionic clays أو مركبات شبيهه بhydrotalcite ⁽¹⁾ اكتشفت أول مرة في السويد عام 1842 تمتاز هذه الأطيان بندرتها في الطبيعة مقارنة بأطيان الأيونات الموجة cationic clay ⁽²⁾ حيث تهيمن الشحنة الموجة على سطح هذه الطبقات بسبب استبدال الأيون الموجب ثانی التكافؤ بالآيون الموجب ثلثي التكافؤ في طبقة الأيون ثانی التكافؤ ، أما بالنسبة للطبقات الداخلية فأنها توازن بواسطة آيونات حامله للشحنة السالبة ولها الصيغة التالية :



حيث تمثل M^{2+} الأيونات الموجبة ثنائية التكافؤ أما M^{3+} فأنها تمثل الأيونات الموجبة ثلثائية التكافؤ .

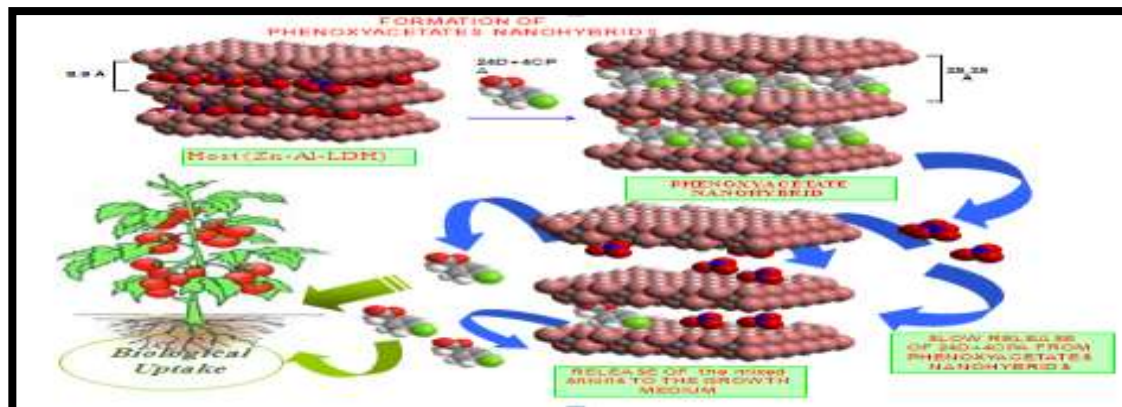
أما A^{n-} تمثل الأيونات الحاملة للشحنة السالبة (عضويه أو لا عضويه) داخل الطبقات ^(3, 4, 5) فاللامضوية منها $(\text{CO}_3^{2-}, \text{NO}_3^-, \text{F}^-, \text{Cl}^-, \text{OH}^-)$ ، أما العضويه مثل الادوية أو أحماض أمينيه أو مبيدات (حشرية أو عشبية)

وغيرها ، كما يمثل X قيمة الكسر المولى بالنسبة للايون الموجب ثلثائي التكافؤ

$$X = \text{M}^{3+}/\text{M}^{2+} + \text{M}^{3+}$$

حيث تكون قيمة الكسر المولى لهذه الطبقات بحدود ⁽⁶⁾ $(0.2 < X < 0.33)$

استخدمت في البحث مواد عضوية مثل مبيدات الأدغال الفينوكسية (2,4-dichloro phenoxy acetate) يرمز له اختصاراً (2,4-D) و 4-chloro phenoxy acetate (4-CPA) (1) بشكل أيونات سالبة مشورة مابين الطبقات معاً في آن واحد لتكوين مركبات نانوية مهجنة عضوية-لا عضوية لما لهذه المبيدات من استخدامات واسعة في مجال الزراعة مما يؤدي إلى التماس المباشر من قبل الفلاحين كما من الممكن أن تتسرب هذه الجزيئات إلى التربة والمياه الجوفية فتسبب تلوثها لذا يجب الحد من هذه الظاهرة باستخدام طريقة السيطرة على تحرر هذه الأيونات وذلك بتطبيق تقنية النانو المتمثلة بالطبقات ثنائية الهيدروكسيد لما لها من القدرة على احتجاز هذه الجزيئات النشطة على شكل أيونات داخل هذه الطبقات وكذلك السيطرة على تحرر هذه الأيونات خلال الأوساط المعنية مثل (الكربونات و الفوسفات و الكلوريدات) عن طريق التبادل الأيوني المباشر ، أن لايون الكربونات الألفة العالية تجاه الطبقات ثنائية الهيدروكسيد كما أن لأختلاف التراكيز الابتدائية للأوساط المختلفة دوراً فعالاً في سرعة تحرر هذه الأيونات .



شكل (1) : عملية إقحام و تحرر كلا الأيونين (2,4-D , 4-CPA) داخل الطبقات ثنائية الهيدروكسيد .

الجزء العلمي - الأجهزة

- 1- مطياف الأشعة المرئية – فوق البنفسجية نوع
- 2- جهاز قياس الدالة الحامضية .
- 3- ميزان كهربائي حساس ذو أربع مراتب عشرية

المواد الكيميائية

- 1- كاربونات الصوديوم Na_2CO_3
- 2- فوسفات الصوديوم Na_3PO_4
- 3- كلوريدات الصوديوم NaCl
- 4- حامض التترريك HNO_3
- 5- هيدروكسيد الصوديوم NaOH

دراسة تأثير سرعة التنافس على حرکية تحرر كلا الأيونين السالبين (2,4-D CPA) و (DCPA-Zn/Al-LDH) :-

تمت تتبع دراسة تأثير سرعة تنافس كلا الأيونين على حرکية التحرر بوساطة مطياف الأشعة فوق البنفسجية لكلا الأيونين المتحررین عند الطول الموجي الأعظم (λ_{\max}) 2,4-D 229 nm و 4-CPA 227nm لـ 3.5 ml وذلك بأخذ 0.001gm من المركب النانوي مختلف التراكيز (M)(0.5,0.05,0.005) من Na_2CO_3 و Na_3PO_4 و NaCl ومن ثم إضافة 0.001gm من محليل الهجيني و بعد ذلك قياس مقدار الامتصاص لها عند الطول الموجي الأعظم (λ_{\max}) لكل أيون لمعرفة ثابت الإعاقه إثناء تحرر كلا الأيونين من بين طبقات المركبات النانوية المهيمنة (K_d) من خلال تطبيق معادلة (Bhaskar) ⁽⁷⁾ .

$$-\log \left(\frac{\text{C}_t}{\text{C}_f} \right) = \frac{\text{K}_d \text{t}^{0.5}}{2.303} \quad (1)$$

دراسة تأثير تغير الدالة الحامضية على سرعة تنافذ كلا الأيونين من بين طبقات المركبات النانوية الهجينة :-

تم تتبع دراسة تأثير تغير الدالة الحامضية على سرعة تنافذ كلا الأيونين بوساطة مطياف الأشعة فوق البنفسجية لكلا الأيونين المتحررین عند الطول الموجي الأعظم (λ_{\max}) 2,4-D 229 nm و 4-CPA 227nm لـ 3.5 ml وذلك بأخذ 0.001gm من محليل حامضية مختلفة pH=13.5,8,6,4 حيث ضبطت بإضافة قطرات من HNO_3 بالنسبة للأوساط الحامضية أما للأوساط القاعدية فقد ضبطت بوساطة NaOH وقد استخدم الماء المقطر كوسط لضبط pH ومن ثم إضافة 0.001gm من المركب النانوي الهجيني و بعد ذلك قياس مقدار الامتصاص لها عند الطول الموجي الأعظم (λ_{\max}) لكل أيون لمعرفة ثابت الإعاقه إثناء تحرر كلا الأيونين من بين طبقات المركبات النانوية المهيمنة (K_d) من خلال تطبيق معادلة (Bhaskar) ⁽⁷⁾

النتائج والمناقشة Results and Discussion

- دراسة تأثير سرعة التنازد كلا الايونين على حرکية التحرر :-

تمت دراسة تأثير سرعة التنازد كلا الايونين السالبين المتحررين من بين طبقات المركبات النانوية الهجينية إثناء عملية التبادل الأيوني خلال الأوساط و التراكيز المختلفة بتطبيق معادلة (Bhaskar) ⁽⁷⁾ :-

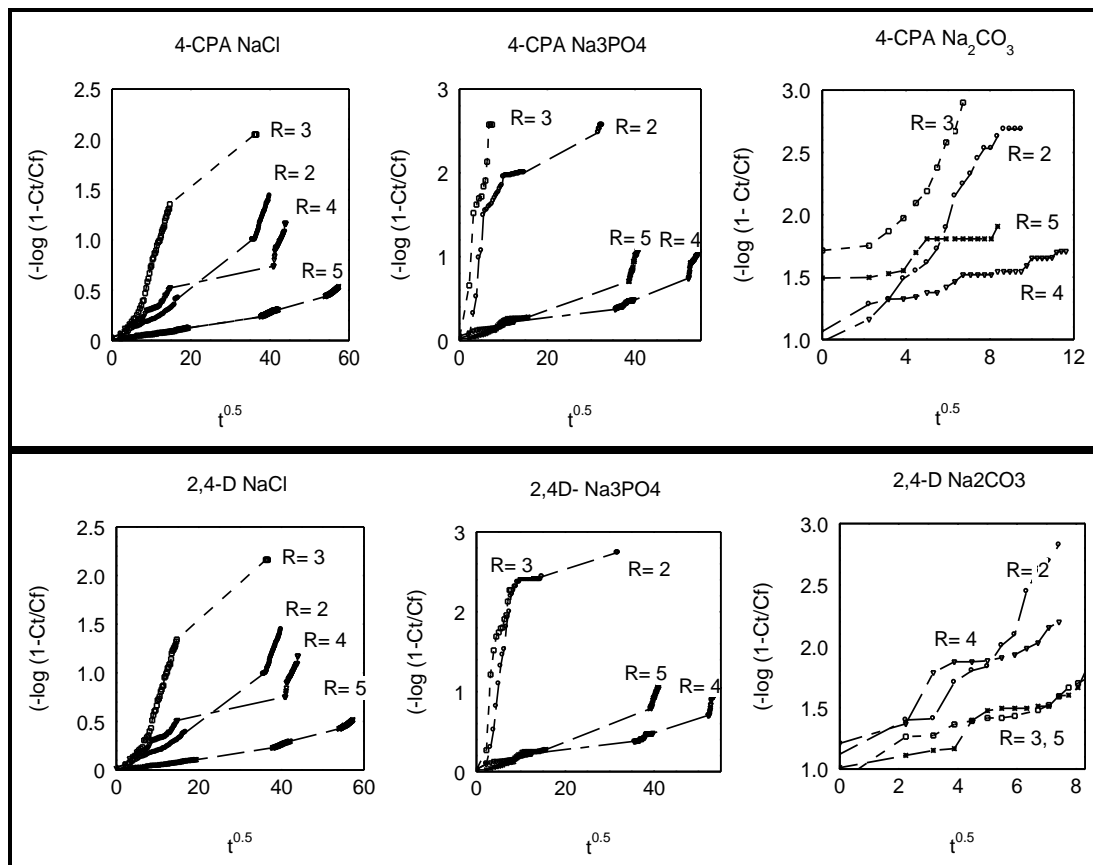
$$-\log(1-C_t/C_f) = \frac{K_d t^{0.5}}{2.303} \quad \dots \dots (1)$$

حيث C_t : التركيز عند كل زمن بوحدات (mg.L^{-1})

C_f : التركيز عند الاتزان بوحدات (mg.L^{-1})

K_d : ثابت سرعة التنازد بوحدات ($\text{min}^{-0.5}$)

تم استخراج قيم ثابت سرعة التنازد المدرجة في جدول (1) ذلك عن طريق رسم قيم $\left(\frac{C_t}{C_f}\right)^{0.5}$ وبنسبة مولية مختلفة ($R = 2, 3, 4, 5$) كما في شكل (2) ومن خلال ملاحظتنا لقيم ($t^{0.5}$) المدرجة في جدول (1) و المستحصل عليها من الرسم أيضا يتضح لنا عند اقتراب قيم ($t^{0.5}$) من الواحد الصحيح دالة على وجود أعاقة للايونات الداخلة والخارجة أثناء عملية التحرر ، وهذا يعني أن التنازد المسامي له تأثير على مسيرة عملية التبادل الأيوني .

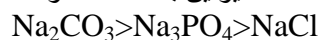


شكل (2) تأثير سرعة تنازد كلا الايونين (2,4-D و 4-CPA) المتحررين من بين طبقات المركبات النانوية الهجينية المحضرة في وسط مائي ، أثناء عملية التبادل الأيوني خلال الأوساط المختلفة

جدول (1): قيم (ثابت سرعة التنافس (K_d) و (r^2)) لكلا الانيونين المتحررين من بين طبقات المركبات النانوية الهجينية المحضرة في وسط مائي ، أثناء عملية التبادل الأيوني خلال الأوساط والتراكيز الابتدائية المختلفة

R	Sample	Concentration (Mol.L ⁻¹)	K _d (min ^{-0.5}) 4-CPA	r ² 4-CPA	K _d (min ^{-0.5}) (2,4-D)	r ² (2,4-D)
2	Na ₂ CO ₃	0.5	0.1030	0.9201	0.1022	0.9331
		0.05	0.0340	0.7092	0.0338	0.7161
		0.005	0.0462	0.9355	0.0423	0.8261
	Na ₃ PO ₄	0.5	0.0276	0.9532	0.0294	0.9871
		0.05	0.0153	0.9182	0.0376	0.9622
		0.005	0.0355	0.7001	0.0347	0.7531
	NaCl	0.5	0.0125	0.7663	0.0134	0.8022
		0.05	0.0112	0.8443	0.0122	0.8475
		0.005	0.0074	0.8900	0.0074	0.8922
3	Na ₂ CO ₃	0.5	0.0844	0.8492	0.1674	0.7582
		0.05	0.1482	0.8893	0.1552	0.8682
		0.005	0.0483	0.8600	0.0585	0.9021
	Na ₃ PO ₄	0.5	0.2753	0.9362	0.2821	0.9382
		0.05	0.3144	0.9293	0.2700	0.9522
		0.005	0.0642	0.9271	0.0679	0.9600
	NaCl	0.5	0.015	0.7874	0.0144	0.8112
		0.05	0.0062	0.8585	0.0065	0.8588
		0.005	0.0073	0.7177	0.0077	0.7177
4	Na ₂ CO ₃	0.5	0.0931	0.9373	0.1552	0.8393
		0.05	0.1722	0.9124	0.2583	0.9622
		0.005	0.0687	0.9201	0.0734	0.9221
	Na ₃ PO ₄	0.5	0.1551	0.7211	0.1592	0.7961
		0.05	0.1872	0.7600	0.1955	0.7600
		0.005	0.1941	0.8722	0.1566	0.9622
	NaCl	0.5	0.0213	0.8555	0.0216	0.8177
		0.05	0.0093	0.7344	0.0096	0.7855
		0.005	0.0085	0.8332	0.0085	0.8500
5	Na ₂ CO ₃	0.5	0.1302	0.8933	0.1600	0.9563
		0.05	0.0159	0.8211	0.0267	0.7381
		0.005	0.0127	0.9661	0.0307	0.7272
	Na ₃ PO ₄	0.5	0.0166	0.9283	0.0156	0.9282
		0.05	0.0990	0.9033	0.0993	0.9455
		0.005	0.0505	0.9633	0.0567	0.9455
	NaCl	0.5	0.0172	0.8022	0.0193	0.7274
		0.05	0.0093	0.7966	0.0097	0.8096
		0.005	0.0095	0.7795	0.0096	0.7811

من خلال ملاحظة القيم المتحصل عليها من الرسم والمدرجة في الجدول (1) نستنتج ما يلي :
أولاً : أن سرعة تنااذ كل الأيونين باختلاف الأوساط تتبع التسلسل التالي :

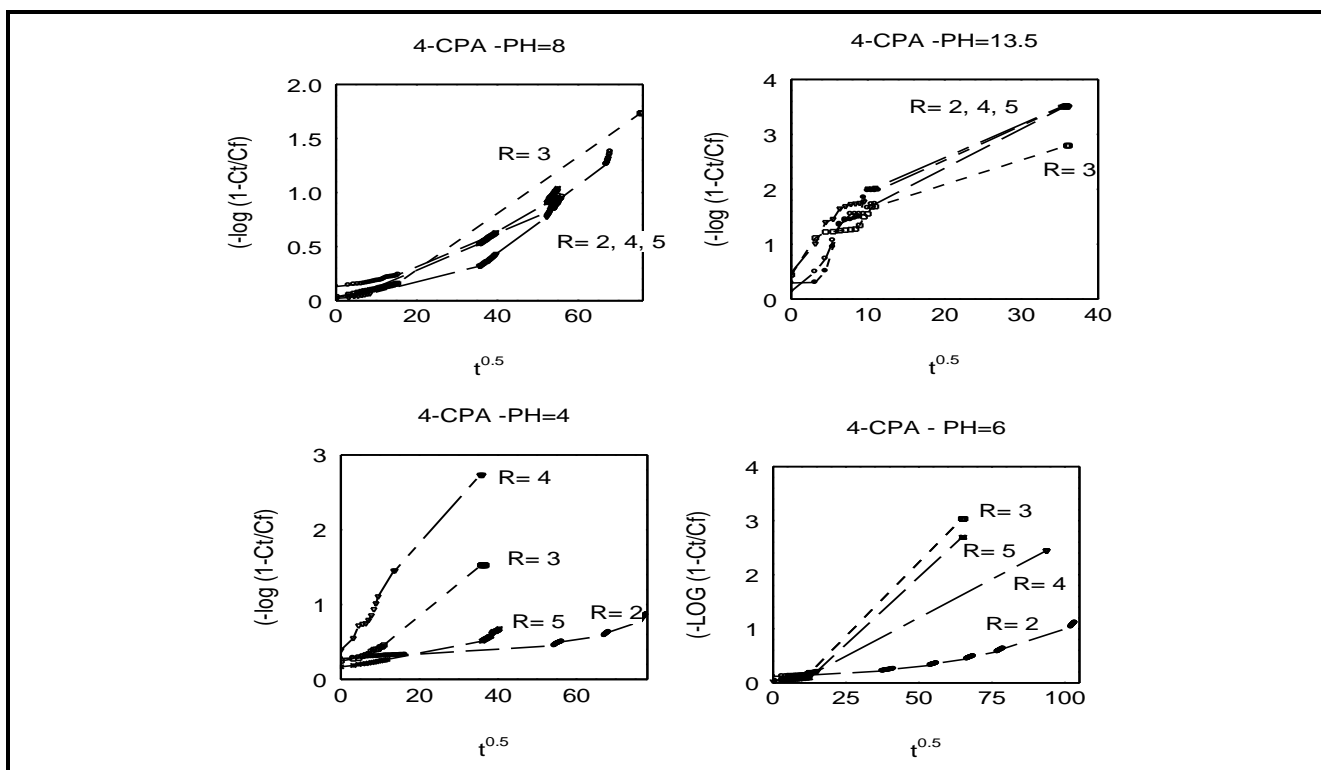


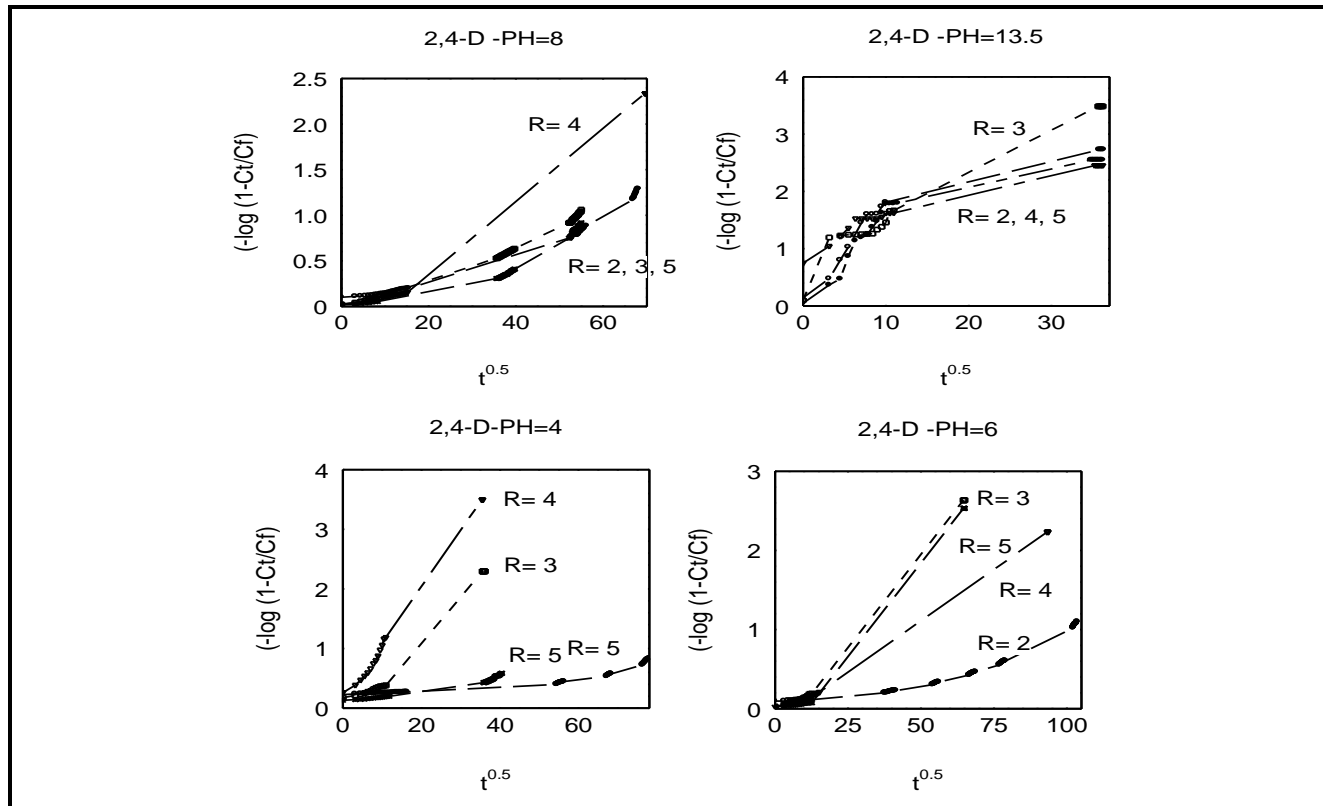
ثانياً : أن الأيون العضوي (2,4-D) يعني أعاقة أعلى من الأيون العضوي (4-CPA) وقد يعود السبب في ذلك إلى كبر حجم الأيون (2,4-D) مقارنة بالأيون (4-CPA).

ثالثاً : أن أعلى أعاقة خلال الأوساط والنسب المولية المختلفة للمركبات النانوية الهجينة المحضرة في وسط مائي تتبع التسلسل التالي : $4 > 3 > 2$. وعند مقارنة هذه القيم مع قيم الإعاقة خلال الأوساط والنسب المولية المختلفة للمركبات النانوية الهجينة المحضرة في وسط ايثانولي المدرجة في البحث السابق⁽⁸⁾ نلاحظ أن أقل اعاقة للمركبات النانوية المحضرة في وسط مائي وايثانولي تكون عند ($R=4$) وهذا يدل على أن النسبة المولية ($R=4$) يكون فيها التهجين النانوي أكثر وضوحاً من غيره وهذا ما ثبته التقنيتان حيد الأشعة السينية و التحليل الحراري الموضح في البحث السابق⁽⁸⁾.

رابعاً : أن كلا الأيونين المتحررين من بين طبقات المركبات النانوية الهجينة المحضرة في وسط مائي تعاني أعاقة أكبر وقد يعزى السبب في ذلك الى طبيعة الارتباط بين كلا الأيونين وسطح الطبقات ثنائية البيدروكسيد مقارنة بالمركبات النانوية الهجينة المحضرة في وسط ايثانولي.

- دراسة تأثير تغير الدالة الحامضية على سرعة تنااذ كل الأيونين من بين طبقات المركبات النانوية الهجينة
تمت دراسة تأثير تغير الدوال الحامضية عند $pH = 4$ و 6 و 8 و 13.5 على سرعة تنااذ كلا الأيونين من بين طبقات المركبات النانوية الهجينة المحضرة في الوسط المائي وباختلاف النسب المولية باستخدام معادلة Bhaskar سابقاً , فوجد من خلال متابعة قيم r^2 المدرجة في جدول (2) وملاحظة شكل (3) أن العملية كلها تكون محكمة أيضاً بالتنااذ المسامي عند بدء عملية التحرر





شكل (3) : تأثير سرعة تنازع كل الأنيونين المتحررين من بين طبقات المركبات النانوية الهجينية المحضرة في وسط مائي أثناء عملية التبادل الأيوني خلال الدوال الحامضية المختلفة .

جدول (2) : قيم (ثابت سرعة التنازع (K_d) و (r^2)) لكلا الأنيونين المتحررين من بين طبقات المركبات النانوية الهجينية المحضرة في وسط مائي ، أثناء عملية التبادل الأيوني عند الدوال الحامضية المختلفة

R	pH	$K_d(\text{min}^{-0.5})$ 4-CPA	r^2 4-CPA	$K_d(\text{min}^{-0.5})$ (2,4-D)	r^2 (2,4-D)
2	13.5	0.0260	0.8977	0.0249	0.8988
	8	0.0121	0.8263	0.0121	0.8773
	6	0.0075	0.7633	0.0079	0.7100
	4	0.0063	0.7493	0.0066	0.7193
3	13.5	0.0173	0.9266	0.0284	0.9322
	8	0.0126	0.9011	0.0132	0.8741
	6	0.0163	0.7143	0.0165	0.6452
	4	0.0189	0.7883	0.0186	0.7782
4	13.5	0.0122	0.8911	0.0123	0.8919
	8	0.0084	0.8873	0.0095	0.8911
	6	0.0080	0.6665	0.0089	0.7273
	4	0.0022	0.8782	0.0034	0.8683
5	13.5	0.0250	0.8172	0.0205	0.8177
	8	0.0154	0.7322	0.0156	0.7322
	6	0.0135	0.6642	0.0145	0.7322
	4	0.0129	0.6122	0.0173	0.8222

و عند ملاحظة قيم (r^2 و $K_{d,p}$) المدرجة في الجدول (2) نستنتج ما يألي :

أولاً : أعلى سرعة لتنافذ كلا الأيونين من بين طبقات المركبات النانوية الهجينية تزداد بزيادة الدالة الحامضية

ثانياً : أن الأيون العضوي (2,4-D) يعاني أعاقة أكثر من الأيون العضوي (4-CPA) وقد يعود السبب في ذلك إلى كبر حجم الأيون (2,4-D) مقارنة بالأيون (4-CPA).

ثالثاً : أن أعلى إعاقة خلال الدوال الحامضية والنسب المولية المختلفة للمركبات النانوية الهجينية المحضرة في وسط مائي تتبع التسلسل التالي : $3 > 4 > 2 > 5$. نلاحظ أن أقل إعاقة للمركبات النانوية الهجينية المحضرة في وسط مائي تكون عند ($R=5$) (8)، ولكن أقل إعاقة للمركبات النانوية الهجينية المحضرة في وسط ايثانولي تكون عند ($R=2$) كما موضح في البحث السابق (8).

رابعاً : أن كلا الأيونين المتحررين من بين طبقات المركبات النانوية الهجينية المحضرة في وسط مائي تعاني أعاقة أكبر وقد يعزى السبب في ذلك إلى طبيعة الارتباط بين كلا الأيونين وسطح الطبقات ثنائية الهيدروكسيد مقارنة بالمركبات النانوية الهجينية المحضرة في وسط ايثانولي .

الاستنتاجات

أظهرت نتائج البحث أن هناك إعاقة لكلا الأيونين السالبين العضويين المحشورين داخل طبقات الخارصين/المنيوم ثنائية الهيدروكسيد إثناء عملية تحررهما في آن واحد من بين هذه المركبات النانوية الهجينية كما دلت النتائج التي تم التوصل إليها أن اختلاف الأوساط مثل : الكربونات والفوسفات والكلوريدات بتراكيز مختلفة لكل وسط ($M(0.5, 0.05, 0.005)$) لها تأثير كبير على سرعة تنافذ هذين الأيونين حيث كان أعلى وسط للاعاقة باختلاف النسب المولية التي تم بها تحضير المركبات النانوية الهجينية عند الكربونات ثم الفوسفات وأخيراً الكلوريدات كما وأن لاختلاف الدوال الحامضية تأثيرات كبيرة على عملية الإعاقة حيث كانت أعلى إعاقة عند ($pH=13.5$) في جميع النسب المولية التي تم بها تحضير المركبات النانوية الهجينية كذلك أن اختلاف النسب المولية التي حضر بها المركبات النانوية الهجينية دور مهم في إعاقة الأيونين المتحررين فكانت أقل إعاقة لتحرير كلا الأيونين عند ($R=4$) بالنسبة للمركبات المحضرة في كلا الوسطين المائي والإيثانولي إما بالنسبة لتأثير الدوال الحامضية على النسب المولية في عملية الإعاقة نجد أقل إعاقة عند ($R=5$) للمركبات النانوية الهجينية المحضرة في وسط مائي ولكن أقل إعاقة للمركبات النانوية الهجينية المحضرة في وسط ايثانولي تكون عند ($R=2$) .

المصادر

- 1- S. Aisawa, N. Higashiyama, S. Takahashi, H. Hirahara, D.Ikematsu, H. Kondo, H. Nakayama and E. Narita " Intercalation behavior of L-ascorbic acid into layered double hydroxides" Applied Clay Science,35, (2007) P . 146
- 2-M. Arco, S. Gutie'rrez, C. Martí, V.Rives and J. Rocha " Synthesis and characterization of layered double hydroxides (LDH) intercalated with non-steroidal anti-inflammatory drugs (NSAID)" Journal of Solid State Chemistry ,177, (2004) P . 3954
- 3-K.Zou, H. Zhang and X. Duan " Studies on the formation of 5-aminosalicylate intercalated Zn/Al layered double hydroxides as a function of Zn/Al molar ratios and synthesis routes" Chemical Engineering Science 62, (2007) P . 2022
- 4- L. P. Cardoso and J. B. Valim , " Study of acids herbicides removal by calcined Mg/Al-CO₃- LDH" , Journal of Physics and Chemistry of Solids 67, (2006) P . 987
- 5- M. Z. Bin Hussein, S. H. Sarijo, A. Hj. Yahaya, and Z. Zainal " Synthesis of 4-Chlorophenoxyacetate-Zinc/Aluminium- Layered Double Hydroxide Nanocomposite: Physico-Chemical and Controlled Release Properties " Journal of Nanoscience and Nanotechnology Vol ,7 (2007) P.1
- 6- F. Cavani , F. Trifiro and A. Vaccari. "Basic properties of Mg-Al layered double hydroxides intercalated by carbonate, hydroxides, chloride and sulfonate anions" Journal of Inorganic Chemistry,34, (1991) P . 883
- 7- R. Bhaskar, RSR. Murthy, B.D .Miglani and K.Viswanathan " Novel Method to evaluate diffusion controlled release of drug from resinate " . Int J Pharm 28 , (1986) , p 59
- 8- Y. N. Abd LAmeer , A. M. Bashi and S.M. Haddawi " Synthesis of Zn/Al-layered double hydroxide nano hybrids with(2,4- dichloro and 4- chlorophenoxy acetate) " Journal of Karbela University , 32 , (2011) P. 1